

计算电磁学中的 数值方法

Computational Electromagnetism

矩量法（二）

北京邮电大学

则此时矢量位函数 \bar{A} 的波函数为

$$\frac{d^2 A_z}{dz^2} + k^2 A_z = -j\omega\mu\epsilon V \delta_{(z)} \quad (17)$$

$$\text{边界条件 } E_z^i = -E_z^s \quad E_z^i|_{\tan} = \left[\frac{1}{j\omega\mu\epsilon} \left(\frac{\partial^2 A_z}{\partial z^2} + k^2 A_z \right) \right]_{\tan}$$

$$A_z \text{ 之通解 } \frac{d^2 A_z}{dz^2} + k^2 A_z = 0 \quad E_z^i = V \delta_{(z)}$$

$$\text{选 } A_{z_1} = B \cos kz \quad (\text{因为细天线对称性})$$

$$\because A_z = \mu \int I_{(z)} G_{(R,R)} dz' \quad (20)$$

$$R = \sqrt{a^2 + (z - z')^2}$$

由 (19) (20) 式不难得到

$$\int_{-\frac{l}{2}}^{\frac{l}{2}} I_{(z)} \frac{e^{-jkR}}{4\pi R} dz' = \frac{1}{\eta} \frac{V}{2} [\cos k|z| - j \sin k|z|] + B' \cos kz \quad (21)$$

$$\text{式中 } B' = \frac{B}{\mu}; \quad \eta = \frac{1}{\sqrt{\mu\epsilon}} \text{ 为波阻抗}$$

2) 细直线天线积分方程（II）——Hallen 方程

Pocklington 方程激励方式为 E_z^i ，通常工程上细

直线天线的激励是在天线输入端馈以电压 V ，当输入端子间隙很近（点源），相当于输入端加了一个片电压，即 $E_z^i = V \delta_{(z)}$

表示在 z 处有激励。

$$E_z^i|_{\tan} = \left[\frac{1}{j\omega\mu\epsilon} \left(\frac{\partial^2 A_z}{\partial z^2} + k^2 A_z \right) \right]_{\tan}$$

A_z 之特解

$$\frac{d^2 A_z}{dz^2} + k^2 A_z = -j\omega\mu\epsilon V \delta_{(z)} \quad (18)$$

利用一维格林函数 $G_{(z,z)} = \frac{-j}{2k} e^{-jk|z-z'|}$ 可求得 A_z

在式 (18) 和辐射条件下的特解为：

$$A_{z_2} = \sqrt{\epsilon\mu} \frac{V}{2} e^{-jk|z|}$$

于是

$$A_z = A_{z_1} + A_{z_2} = B \cos kz + \sqrt{\mu\epsilon} \frac{V}{2} e^{-jk|z|} \quad (19)$$

将 (21) 式同类项合并，则

$$\int_{-\frac{l}{2}}^{\frac{l}{2}} I_{(z)} \frac{e^{-jk\sqrt{a^2 + (z-z')^2}}}{4\pi\sqrt{a^2 + (z-z')^2}} dz' = -\frac{j}{\eta} \frac{V}{2} \sin k|z| + C \cos kz \quad (22)$$

$$\text{式中 } C = \frac{1}{\eta} \frac{V}{2} + \frac{B}{\mu}$$

式 (22) 即为 **Hallen 方程**

§ 6.5 MoM 法解 Hallen 方程

算子方程

$$\int_{-\frac{l}{2}}^{\frac{l}{2}} I(z') \frac{e^{-jkR}}{4\pi R} dz' - C \cos kz = -\frac{jV}{\eta} \sin k|z| \quad (23)$$

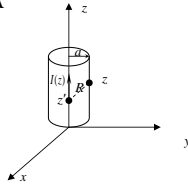


图 3.4

选 $N=2$ 则算子方程展开为

$$\begin{aligned} B_1 \int_{-\frac{l}{2}}^{\frac{l}{2}} \sin\left[\frac{2\pi}{\lambda}\left(\frac{l}{2}-|z'|\right)\right] G_{(z,z')} dz' \\ + B_2 \int_{-\frac{l}{2}}^{\frac{l}{2}} \sin\left[\frac{4\pi}{\lambda}\left(\frac{l}{2}-|z'|\right)\right] G_{(z,z')} dz' \\ - C \cos kz = -\frac{jV}{\eta} \sin k|z| \end{aligned} \quad (24)$$

B_1 , B_2 和 C 为待定系数, V 为激励, $I(z)$ 为响应

(c) 求内积

$$g_m = \langle w_m, -\frac{jV}{2\eta} \sin k|z| \rangle$$

$$g_1 = \langle \delta_{(z=0)}, -\frac{jV}{2\eta} \sin \frac{2\pi}{\lambda} |z| \rangle = 0$$

$$g_2 = \langle \delta_{(z=\frac{\lambda}{8})}, -\frac{jV}{2\eta} \sin \frac{2\pi}{\lambda} |z| \rangle = -\frac{jV}{2\eta} \sin\left(\frac{2\pi}{\lambda} \frac{\lambda}{8}\right) = -\frac{jV}{2\eta} \frac{1}{\sqrt{2}}$$

$$g_3 = \langle \delta_{(z=\frac{\lambda}{4})}, -\frac{jV}{2\eta} \sin \frac{2\pi}{\lambda} |z| \rangle = -\frac{jV}{2\eta}$$

(a) 选基函数

$$I(z) = \sum_{n=1}^N B_n I_n$$

$$I_n = \sin\left[\frac{2\pi n\left(\frac{l}{2}-|z|\right)}{\lambda}\right]$$

(注: B_n 为待定系数, I_n 为整数基函数, 因为从物理概念上可判断出 $I(z')$ 是近似正弦分布, 所以 I_n 选 \sin 形式, 同时还要满足

$$z' = \pm \frac{l}{2} \text{ 时 } I(z') = 0)$$

(b) 选权函数 $w_m = \delta_{(z-z_m)}$ 点选配法

为确定 B_1 , B_2 , C 三个系数, 应选三个观察点

处作内积, 不妨以 $l = \frac{\lambda}{2}$ 为例, 给出 $z_m=0$, $\frac{\lambda}{8}$

和 $\frac{\lambda}{4}$ 三个观察点

$$I_{mm} = \langle w_m, I I_n \rangle,$$

于是对应的相关矩阵为

$$\begin{bmatrix} \int_{-\frac{\lambda}{4}}^{\frac{\lambda}{4}} \cos k|z| G_{(0,z)} dz, & \int_{-\frac{\lambda}{4}}^{\frac{\lambda}{4}} \sin 2k|z| G_{(0,z)} dz, & 1 \\ \int_{-\frac{\lambda}{4}}^{\frac{\lambda}{4}} \cos k|z| G_{(\frac{\lambda}{8},z)} dz, & \int_{-\frac{\lambda}{4}}^{\frac{\lambda}{4}} \sin 2k|z| G_{(\frac{\lambda}{8},z)} dz, & \frac{1}{\sqrt{2}} \\ \int_{-\frac{\lambda}{4}}^{\frac{\lambda}{4}} \cos k|z| G_{(\frac{\lambda}{4},z)} dz, & \int_{-\frac{\lambda}{4}}^{\frac{\lambda}{4}} \sin 2k|z| G_{(\frac{\lambda}{4},z)} dz, & 0 \end{bmatrix} \begin{bmatrix} B_1 \\ B_2 \\ -C \end{bmatrix} = \begin{bmatrix} 0 \\ -\frac{jV}{2\eta} \frac{1}{\sqrt{2}} \\ -\frac{jV}{2\eta} \end{bmatrix} \quad (25)$$

解 (25) 式, 可得 B_1, B_2 和 C 值, 代入 $I(z')$ 可给出半波阵子 ($l = \frac{\lambda}{2}$) 上之电流分布。

§ 6.6 任意形状细天线的 MM 解

Pockington 和 Hallen 方程仅适用于细直线, 对图 3.5 所示之任意形状细天线, 它们不适用, 不妨仍以位函数方程来分析。

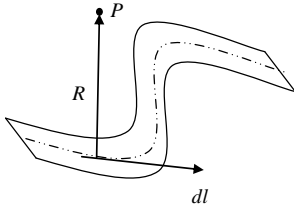


图 3.5 任意形式线辐射体

于是 $\bar{E}^s, \bar{A}, \phi, I$ 和 σ 的关系如下:

$$\begin{cases} -E_l^i = E_l^s = -j\omega A_l - \frac{\partial \phi}{\partial l} \\ \bar{A} = \mu \int_l \bar{I}_{(l)} \frac{e^{-jkR}}{4\pi R} dl \\ \phi = \frac{1}{\epsilon} \int_l \sigma_{(l)} \frac{e^{-jkR}}{4\pi R} dl \\ \sigma_{(l)} = -\frac{1}{j\omega} \nabla \cdot \bar{I}_{(l)} = -\frac{1}{j\omega} \frac{dI_{(l)}}{dl} \end{cases} \quad \begin{aligned} \nabla \cdot \bar{J} &= -\frac{\partial \rho}{\partial t} \\ (26) \\ i &= -\frac{dq}{dt} \\ dI_{(l)} &= dl \cdot \sigma \cdot j\omega \end{aligned}$$

式中 l : 沿线轴向的长度变量; R : 轴上源点指向导线表面场点的距离。

假设:

- 电流只沿轴向流动
- 面电流 \bar{J}_s 和面电荷 σ_s 可近似认为是线电流 I 及轴线上之线电荷 σ
- 导体表面切向分量只考虑轴向分量, 即 $\bar{E}_l^s + E_l^i = 0$

在采用 MoM 法时, 应使 $\bar{E}^s, \bar{A}, \phi, I$ 和 σ 综合为

$$E_l^i = LI_{(l)} \text{ 形式}$$

为避免公式过于冗长, 可采用:

$$\begin{cases} L_1 I_{(l)} = A_l \\ L_2 I_{(l)} = \phi \end{cases}$$

再将式 $E_l^i = j\omega A_l + \frac{\partial \phi}{\partial l}$ 中 A_l 与 ϕ 作为激励分别进行分析。

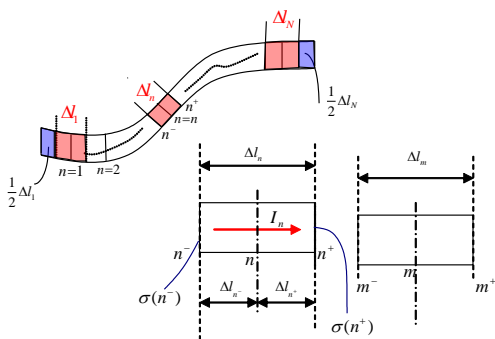


图 3.6 线天线分段示意图

1. 基函数选取, 使用脉冲基函数

将任意形状天线分作 $N+1$ 段, 可得如图 3.6 所示。图中 $n=1, 2, \dots, N$ 表示源端, 以每中点作为标记。 $m=1, 2, \dots, N$ 表示场端。

$$\text{选 } I_{(l)} = \sum_{n=1}^N I_n f_n, \quad f_n = \begin{cases} 1 & \Delta l_n \text{ 内} \\ 0 & \Delta l_n \text{ 外} \end{cases}$$

$$\sigma_{(l)} = \sum_{n=1}^N \sigma_n f_n^- + \sum_{n=1}^N \sigma_n f_n^+$$

$$f_n^- = \begin{cases} 1 & \Delta l_n^- \text{ 内} \\ 0 & \Delta l_n^- \text{ 外} \end{cases}, \quad f_n^+ = \begin{cases} 1 & \Delta l_n^+ \text{ 内} \\ 0 & \Delta l_n^+ \text{ 外} \end{cases}$$

值得注意的是第 n 段由始点 n^- ，中点 n 和终点 n^+ 组成，这是因为天线端点处 $I=0$ ，按上述组成分段，可在两端点 $\frac{1}{2}\Delta l_1$ 和 $\frac{1}{2}\Delta l_N$ 处 $I=0$ ，而 Δl_1 至 Δl_N 内 $f_1 = f_2 = \dots = f_N = 1$ 。

3. 以差分方式代替 $\frac{\partial \phi}{\partial l}|_m$ 使

$$\frac{\partial \phi}{\partial l}|_m = \frac{\phi_{(m+\Delta m)} - \phi_{(m-\Delta m)}}{\Delta l_m} = \frac{\phi_{m^+} - \phi_{m^-}}{\Delta l_m}$$

于是

$$E_{l(m)}^i = j\omega \bar{A}_{l(m)} \cdot \Delta \hat{l}_m + \frac{\phi_{m^+} - \phi_{m^-}}{\Delta l_m}$$

2. 权函数 w_m ，点选配法

$$\langle w_m, A_l \rangle = A_{l(m)}$$

$$\text{选 } w_m = \delta_{(l-m)} \Rightarrow \langle w_m, \frac{\partial \phi}{\partial l} \rangle = \frac{\partial \phi}{\partial l}|_m$$

$$\langle w_m, E_l^i \rangle = E_{l(m)}^i$$

4. 求 $\bar{A}_{l(m)}$ 和 ϕ_m

$$\bar{A}_{l(m)} = \mu \int_l \bar{I}_{(l)} \frac{e^{-jkR}}{4\pi R} dl$$

$$\bar{A}_{l(m)} = \mu \sum_n \bar{I}_n \int_{\Delta l_n} \frac{e^{-jkR_{mn}}}{4\pi R_{mn}} dl \quad (27)$$

(只 Δl 上 $f_n = 1$ 其余为 0)

R_{mn} : 场点到源点之距，如图 3.7 所示

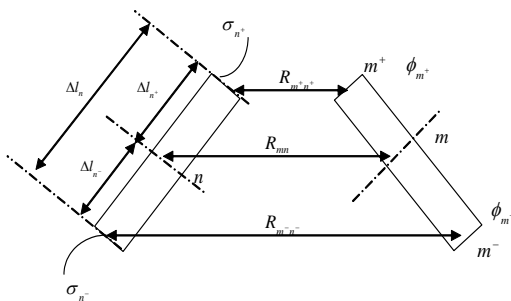


图 3.7 源段及场点相对位置示意图

$$\bar{A}_{l(m)} = \mu \sum_n \bar{I}_n \int_{\Delta l_n} \frac{e^{-jkR_{mn}}}{4\pi R_{mn}} dl$$

$$\text{令 } Q_{(m,n)} = \frac{1}{\Delta l_n} \int_{\Delta l_n} \frac{e^{-jkR_{mn}}}{4\pi R_{mn}} dl \quad (28)$$

则式 (27) 可得为

$$\bar{A}_{l(m)} = \mu \sum_n I_{(n)} \Delta \bar{l}_n Q_{mn} \quad (29)$$

式中 $\Delta \bar{l}_n$ 与 $\bar{I}_{(n)}$ 方向一致，故以 $\Delta \bar{l}_n$ 代替 $\bar{I}_{(n)}$ 的方向。

标量位 ϕ 为

$$\phi = \frac{1}{\varepsilon} \int_l \sigma_{(l)} \frac{e^{-jkR}}{4\pi R} dl$$

$$\begin{aligned} \phi_{(m^+)} &= \frac{1}{\varepsilon} \sum_n (\Delta l_{n^-}) \sigma_{(n^-)} \left[\frac{1}{\Delta l_{n^-}} \int_{\Delta l_{n^-}} \frac{e^{-jkR_{m^+n^-}}}{4\pi R_{m^+n^-}} dl \right] \\ &+ \frac{1}{\varepsilon} \sum_n (\Delta l_{n^+}) \sigma_{(n^+)} \left[\frac{1}{\Delta l_{n^+}} \int_{\Delta l_{n^+}} \frac{e^{-jkR_{m^+n^+}}}{4\pi R_{m^+n^+}} dl \right] \end{aligned}$$

5. 将 σ 变换为电流 I

$$\sigma = -\frac{1}{j\omega} \frac{dI}{dl}$$

用差分形式近似计算微分

$$\sigma_{n^+} = -\frac{1}{j\omega} \left[\frac{I_{(n+1)} - I_{(n)}}{\Delta l_{n^+}} \right]$$

将式 (32) 代入 (30) 和 (31)

$$\phi_{(m^+)} = \frac{1}{\varepsilon} \left[\sum_n (\Delta l_{n^+}) \frac{I_{(n)}}{j\omega \Delta l_{n^+}} Q_{(m^+n^+)} + \sum_n (\Delta l_{n^-}) \frac{-I_{(n)}}{j\omega \Delta l_{n^-}} Q_{(m^+n^-)} \right]$$

$$\phi_{(m^-)} = \frac{1}{\varepsilon} \left[\sum_n (\Delta l_{n^+}) \frac{I_{(n)}}{j\omega \Delta l_{n^+}} Q_{(m^-n^+)} + \sum_n (\Delta l_{n^-}) \frac{-I_{(n)}}{j\omega \Delta l_{n^-}} Q_{(m^-n^-)} \right]$$

$$\phi_{(m^+)} - \phi_{(m^-)} = \frac{1}{j\omega \varepsilon} \sum_n I_{(n)} [Q_{(m^+n^+)} + Q_{(m^+n^-)} - Q_{(m^-n^+)} - Q_{(m^-n^-)}] \quad (33)$$

利用式 (28) 假设, 则

$$\phi_{(m^+)} = \frac{1}{\varepsilon} \left[\sum_n (\Delta l_{n^-}) \sigma_{(n^-)} Q_{(m^+n^-)} + \sum_n (\Delta l_{n^+}) \sigma_{(n^+)} Q_{(m^+n^+)} \right] \quad (30)$$

同理

$$\phi_{(m^-)} = \frac{1}{\varepsilon} \left[\sum_n (\Delta l_{n^-}) \sigma_{(n^-)} Q_{(m^-n^-)} + \sum_n (\Delta l_{n^+}) \sigma_{(n^+)} Q_{(m^-n^+)} \right] \quad (31)$$

由于式 (30) (31) 式中 ϕ_{m^+} 和 ϕ_{m^-} 是以各段贡献之总和而获得, 所以只考虑孤立的第 n 段对 ϕ 的贡献时, 只有 I_n 有贡献, 此时 I_{n+1} 和

I_{n-1} 均为 “0”, 于是对于孤立的 n 段而言

$$\sigma_{n^+} = \frac{1}{j\omega} \left[\frac{I_{(n)}}{\Delta l_{n^+}} \right], \quad \sigma_{n^-} = -\frac{1}{j\omega} \left[\frac{I_{(n)}}{\Delta l_{n^-}} \right] \quad (32)$$

6. 导出阻抗矩阵 $z_{(m,n)}$

$$E_{l(m)}^i = j\omega \bar{A}_{l(m)} \cdot \Delta \hat{l}_{(m)} + \frac{\phi_{(m^+)} - \phi_{(m^-)}}{\Delta l_m}$$

将式 (29) 和 (33) 代入上式, 则

$$\begin{aligned} E_{l(m)}^i &= j\omega \mu \sum_n I_{(n)} \Delta \bar{l}_n \cdot \Delta \hat{l}_m Q_{(mm)} \\ &+ \frac{1}{j\omega \varepsilon \Delta l_m} \sum_n I_{(n)} [Q_{(m^+n^+)} + Q_{(m^+n^-)} - Q_{(m^-n^+)} - Q_{(m^-n^-)}] \end{aligned} \quad (34)$$

将式 (34) 方程两边乘以 Δl_m ，则

$$E_{l(m)}^i \Delta l_m = \sum_{n=1}^N I_n \{ j\omega\mu\bar{\Delta l}_n \cdot \bar{\Delta l}_m Q_{(mn)} + \frac{1}{j\omega\varepsilon} [Q_{(m^+n^+)} + Q_{(m^+n^-)} - Q_{(m^-n^+)} - Q_{(m^-n^-)}] \} \quad (35)$$

令 $E_{l(m)}^i \Delta l = V_{(m)}^i$ ，为激励阵

$$Z_{mn} = j\omega\mu\bar{\Delta l}_n \cdot \bar{\Delta l}_m Q_{(mn)} + \frac{1}{j\omega\varepsilon} [Q_{(m^+n^+)} + Q_{(m^+n^-)} - Q_{(m^-n^+)} - Q_{(m^-n^-)}] \quad (36)$$

Z_{mn} 为阻抗阵，则

$$V_{(m)} = \sum_{n=1}^N I_n Z_{mn}$$

写成矩阵形式, $[V_m] = [Z_{mn}][I_n]$ ，矩阵求逆得

$$[I_n] = [Z_{mn}]^{-1} [V_m] \quad (37)$$

$[Z_{mn}]$ 求得后即可定出 I_n ，从而

$$I_{(l)} = \sum_{n=1}^N I_n f_n = [\tilde{f}_n][Z_{mn}]^{-1} [V_m] \quad (38)$$

阻抗矩阵 Z_{mn} 只取决于线天线的几何形状

7. Z_{mn} 求解

$[Z_{mn}]$ 中 $Q_{(mn)}$ 和 $Q_{(m^+n^\mp)}$ 求得后，

$[Z_{mn}]$ 可解。图 3.8 给出 n 段和 m 段在几何坐标的关系，以 n 段中点作局部坐标原点

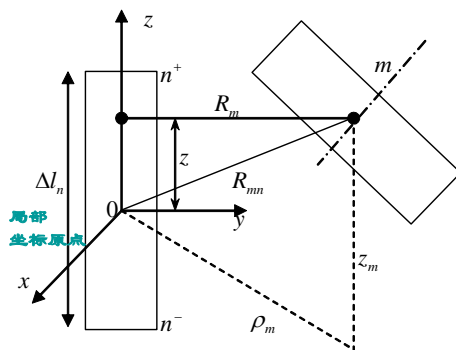


图 3.8 几何坐标关系

$$R_m = \sqrt{\rho_m^2 + (z - z_m)^2}$$

$$R_{mn} = \sqrt{\rho_m^2 + z_m^2}$$

$$Q_{(m,n)} = \frac{1}{4\pi\Delta l_n} \int_{\Delta l_n} \frac{e^{-jkR_m}}{4\pi R_m} dl$$

由于 Δl_n 很小, 且当 m 段与 n 段相隔较远时,

$R_m \gg \Delta l_n$, 故可使 $R_m \approx R_{mn}$, 则

$$Q_{(m,n)} = \frac{1}{4\pi\Delta l_n} \frac{e^{-jkR_{mn}}}{R_{mn}} \int_{n^-}^{n^+} dz = \frac{1}{4\pi} \frac{e^{-jk\sqrt{\rho_m^2 + z_m^2}}}{\sqrt{\rho_m^2 + z_m^2}}$$

上式在 $m \neq n$ 且 m, n 相距较近时, 不准确, 有一定残留误差, $m \neq n$ 时之 $Q_{(m^+n^+)}$ 也可仿 $Q_{(mn)}$ 方法求之。

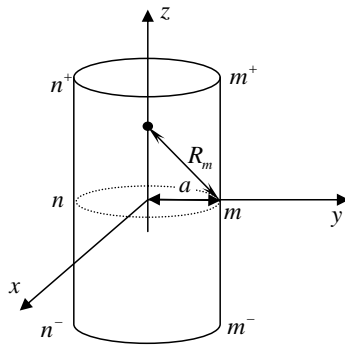


图 3.9 $m=n$ 时的几何关系

$$\begin{aligned} Q_{mn} &= \frac{1}{4\pi\Delta l_n} \int_{\Delta l_n} \left[\frac{1}{R_m} - jk \right] dz \\ &= \frac{1}{4\pi\Delta l_n} \int_{-\frac{\Delta l_n}{2}}^{\frac{\Delta l_n}{2}} \frac{dz}{\sqrt{a^2 + z^2}} - \frac{jk}{4\pi} \\ &= \frac{1}{4\pi\Delta l_n} \left[2\ln\left(\frac{\Delta l_n}{a}\right) \right] - \frac{jk}{4\pi} = \frac{1}{2\pi\Delta l_n} \ln\left(\frac{\Delta l_n}{a}\right) - \frac{jk}{4\pi} \quad (39) \end{aligned}$$

$Q_{(m^+n^+)}$ 可照此类推求得, 将 $Q_{(mn)}$, $Q_{(m^+n^+)}$ 代入 (36)

式可得 $[Z_{mm}]$ 。

当 $m=n$ 时

$$Q_{(m,n)} = \frac{1}{4\pi\Delta l_n} \int_{n^-}^{n^+} \frac{e^{-jkR_m}}{R_m} dz$$

此时应计及导线周界面上之点对 m 点之贡献。

$$\text{此时 } R_m = \sqrt{\rho_m^2 + (z - z_m)^2} = \sqrt{a^2 + z^2}$$

此时, R_m 是 z 的函数, 利用技术展开近似计算。

将 e^{-jkR_m} 展开写成麦克劳林级数, 取前两

项(由于 m 点与 n 点重合, 所以 $R_{mm} \rightarrow 0$)。

$$e^{-jkR_m} = 1 - jkR_m - \frac{k^2 R_m^2}{2} - \dots$$

8. 线天线和线散射体

众所周知, 一根导线在其上一点或多点处以集中电压源来激励, 就构成线天线, 若导线中第 i 个区间被激励, 则称为单线单馈:

$$[V_m] = \begin{bmatrix} 0 \\ 0 \\ \vdots \\ V_i \end{bmatrix}$$

由 $[V_m]$ 引起之电流

$$I_{(i)} = [\tilde{f}_n][Z_{mn}]^{-1}[V_m]$$

定义

$$[I_n] = [Y_{mn}][V_m] \quad (40)$$

其中 $[Y_{mn}] = [Z_{mn}]^{-1}$ 为**导纳矩阵**。导纳矩阵中 Y_{ii} 为

导线在第*i*区间馈电时的**输入导纳**; Y_{ij} 为导线在第*i*

区间与*j*区间的**转移导纳**。

单线多馈时

$$[V_m] = \begin{bmatrix} 0 \\ \vdots \\ 0 \\ V_i \\ \vdots \\ V_j \\ \vdots \\ 0 \end{bmatrix}$$

对线散射体,指的是入射场 \vec{E}^i 激励下的散射场求解,图 3.10

为线散射体在平面波入射场激励下的几何图

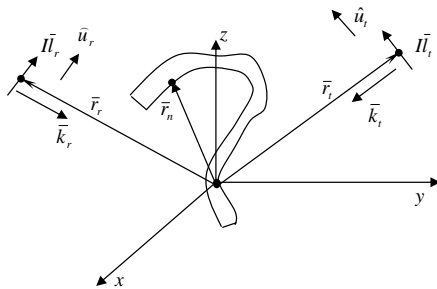


图 3.10 线散射体散射关系图

电流元 \bar{I}_t 为发射点处之电流元, \bar{I}_r 为接收点处

的电流元, \bar{I}_t 在线散射体远区,其在散射体处

产生一**单位平面波**,则

$$\vec{E}^t = \hat{u}_t e^{-j\vec{k}_t \cdot \vec{r}_n}, \quad \vec{r}_n \text{ 为“源点”处之矢径}$$

\hat{u}_t :发射波极化方向单位矢

\hat{u}_r :接收点极化方向单位矢

平面波入射到每个 Δl_n 上的激励电压为

$$[V^t] = \begin{bmatrix} \vec{E}_1^t \cdot \Delta \vec{l}_1 \\ \vec{E}_2^t \cdot \Delta \vec{l}_2 \\ \vdots \\ \vec{E}_N^t \cdot \Delta \vec{l}_N \end{bmatrix}$$

因此,线散射体上电流分布

$$[I_n] = [Z_{mn}]^{-1}[V^t]$$

The end !